

# تأثیر متغیرهای فرمولبندی بر عبورپستی میکروامولسیون دسموپرسین استات

آرزو سروش نیا، فریبا گنجی\*

تهران، دانشگاه تربیت مدرس، دانشکده مهندسی شیمی، گروه بیوتکنولوژی

سید مجتبی تقیزاده

تهران، پژوهشگاه پلیمر و پتروشیمی ایران، پژوهشکده علوم، گروه سامانه‌های توزین داروسازی

**چکیده:** سامانه‌های دارو رسانی تراپوستی در سال‌های اخیر به عنوان یک جایگزین مناسب برای سامانه‌های دارو رسانی خوراکی و تزریقی مورد توجه فراوان قرار گرفته‌اند. هدف از این پژوهش تهیه سامانه تراپوستی میکروامولسیونی دسموپرسین استات و بررسی تاثیر ترکیب فرمولبندی بر شدت عبور پستی‌این دارو است. اجزای میکروامولسیون‌ها شامل: ترکیب توزین ۸۰ و اسپن ۸۰ به عنوان مواد فعال سطحی، ۱-دکانول به عنوان کمک فعال سطحی و ایزوفروپیل مایریستات به عنوان فاز رونگی هستند. با تعیین متغیرهای مستقل  $HLB$  بین ۷ تا ۹،  $S/Cs$  بین ۱:۱ تا ۵:۱ و  $S_{mix}/Oil$  بین ۵:۵ تا ۷:۳، فرمولبندی‌های مورد نیاز توسط نرم افزار ۷.۰.۰ Design-Expert مقدار شدت عبور پستی و با افزایش  $HLB$  میزان شدت عبور پستی افزایش می‌یابد. میکروامولسیون بهینه ارایه شده توسط نرم افزار دارای  $HLB = 1$ ،  $S/Cs = 1:1$  و  $S_{mix}/Oil = 5:46$  است. سپس پایداری ترکیب بهینه، مقدار داروی آزاد شده و شدت عبور پستی آن اندازه‌گیری شد. با توجه به نتیجه‌های این پژوهش با کاهش گرانروی و افزایش قطبیت سامانه شدت عبور پستی دارو از میکروامولسیون‌ها افزایش می‌یابد. مطالعه‌های عبور پستی نشان داد که میکروامولسیون‌ها با داشتن ابعاد ریز و مواد تشکیل دهنده‌ای که به عنوان افزاینده نفوذ پستی عمل می‌نمایند عبور پستی داروهای درشت مولکول را امکان‌پذیر می‌نمایند.

**واژه‌های کلیدی:** دارو رسانی تراپوستی، میکروامولسیون، دسموپرسین استات، رهایش، شدت عبور پستی دارو، بهینه‌سازی.

**KEY WORDS:** Transdermal drug delivery, Microemulsion, Desmopressin acetate, Release, Drug skin flux, Optimization.

## مقدمه

بیماری‌ها مورد توجه قرار گرفته‌اند. دارو رسانی بیشتر پیتیدها از طریق خوراکی و جذب مخاطی مناسب نمی‌باشد. در سال‌های اخیر،

با پیشرفت‌های اخیر در تهیه و ساخت مولکول‌های زیستی مانند پیتیدها این ترکیب‌ها به عنوان داروهای قوی و مؤثر برای درمان

+E-mail: fghanji@modares.ac.ir

\* عهده دار مکاتبات

## بخش تجربی

### مواد

در این پژوهش از آب یون زدوده به عنوان فاز آبی، داروی دسموپرسین استات (ساخت شرکت بیو فارما چین)، مواد فعال سطحی اسپن ۸۰ و توین ۸۰ و فاز روغنی ایزوبروپیل مایریستات (ساخت شرکت سیگما آمریکا) و ۱-دکانول (ساخت شرکت مرک آلمان) به عنوان ماده کمک فعال سطحی استفاده شد.

### شرح آزمایش طراحی آزمون

در طراحی آزمون از روش پاسخ سطح<sup>(۷)</sup> و طراحی مرکب مرکزی<sup>(۸)</sup> استفاده شده است. طراحی در پنج سطح توسط نرم افزار Design-Expert 7.0.0 انجام گرفت. برای تعیین مدل مناسب از جدول تجزیه واریانس (ANOVA) استفاده شده است. مدل تعیین شده چند جمله‌ای درجه ۲ است. در این پژوهش تعادل آبدوستی و آب‌گریزی سامانه (HLB)، نسبت مجموع مواد فعال سطحی و مواد کمک فعال سطحی به فاز روغنی ( $S_{mix/Oil}$ ) و نسبت مواد فعال سطحی به مواد کمک فعال سطحی ( $S/Cs$ ) به عنوان متغیرهای مستقل و شدت عبور پوستی به عنوان پاسخ در نظر گرفته می‌شود. برای تهیه میکروامولسیون‌ها از بازه‌ی HLB بین ۷-۹ ( $S/Cs$ :۱:۱) و ( $S_{mix/Oil}$ :۵:۵) استفاده شد.

### ساخت میکروامولسیون‌های دسموپرسین استات

در این پژوهش میکرو امولسیون‌های آب در روغن دارای ۱۰٪ آب و ۹٪ داروی دسموپرسین استات تهیه شدند. برای ساخت آنها طبق جدول ۱، ابتدا اسپن ۸۰ و توین ۸۰ با هم مخلوط می‌شوند. مخلوط همراه با شود تا به طور کامل یکنواخت شود. سپس ۱-دکانول به عنوان ماده کمک فعال سطحی به مخلوط افزوده شده. سپس ایزوبروپیل مایریستات اضافه می‌شود. در آخر محلول آب و دارو به صورت قطره قطره به مخلوط اضافه و همراه شد.

### پایداری ظاهری

الف) پس از ساخته شدن میکروامولسیون‌ها، از هر کدام سه نمونه

دارورسانی تراپوستی برای ترکیب‌های پیتیدی با به کارگیری روش‌های یونتوفورسیس<sup>(۱)</sup>، فراصوت<sup>(۲)</sup>، حفره‌ای الکتریکی<sup>(۳)</sup> و میکروسوزن<sup>(۴)</sup> مورد استفاده قرار گرفته است [۱]. البته این روش‌ها در بیشتر مواقع به پوست صدمه می‌زنند. افزاینده‌های نفوذ شیمیایی نیز برای دارورسانی بوسیله قرار گیرند، ولی بیشتر آنها برای مؤثر بودن به غلظتی نیاز دارند که سبب ایجاد حساسیت می‌شود [۲، ۳]. میکروامولسیون‌ها شفاف و اندازه ذره‌های آنها کوچک‌تر از ۱۵۰ نانومتر می‌باشد و برای داروهای آبدوست و آب‌گریز به کار می‌روند. میکرو امولسیون‌ها به عنوان سامانه‌های مناسب برای دارورسانی شناخته شده‌اند [۴] از برتری‌های آنها به عنوان سامانه‌های دارورسانی تراپوستی به این موارد می‌توان اشاره نمود. ۱) دارای توانایی حل کردن مقدار زیادی دارو می‌باشد. ۲) با تغییر فاز داخلی سرعت عبور پوستی افزایش می‌یابد. ۳) اجزای آن به عنوان افزاینده نفوذ پوستی عمل می‌نمایند برای تهیه میکروامولسیون‌های آب در روغن از مواد فعال سطحی<sup>(۵)</sup> و با تعادل آبدوستی و آب‌گریزی<sup>(۶)</sup> زیر ۱۰ استفاده می‌شود [۵]. تعداد زیادی از میکروامولسیون‌ها بوسیله پژوهشگران گوناگون برای دارو رسانی تراپوستی تهیه و مورد آزمایش قرار گرفته‌اند. اما در زمینه عبور پوستی داروی دسموپرسین استات به وسیله‌ی میکرو امولسیون‌ها گزارش‌های چندانی در دست نیست. داروی دسموپرسین یک مولکول پیتیدی آبدوست با وزن مولکولی ۱۸۳۴ دالتون می‌باشد که برای درمان هموفیلی، دیابت بی مزه، شب ادراری و آزاییمر کاربرد دارد [۲]. در این پژوهش تهیه سامانه میکروامولسیونی آب در روغن دسموپرسین استات و بررسی اثر متغیرهای فرمول‌بندی بر شدت عبور پوستی داروی دسموپرسین استات از سامانه فوق‌مورد توجه قرار گرفته است. برای این منظور میزان آبدوستی و آب‌گریز مواد فعال سطحی ( $S/Cs$ ) و نسبت مواد فعال سطحی به ماده کمک فعال سطحی ( $S_{mix/Oil}$ ) و نسبت مجموع مواد فعال سطحی و ماده کمک فعال سطحی به فاز روغنی ( $S_{mix/Oil}$ ) به عنوان متغیرهای مستقل و شدت عبور پوستی دارو به عنوان متغیر وابسته بررسی شد. برای این منظور شدت عبور پوستی به کمک نرم افزار Design-Expert 7.0.0 مورد بررسی قرار گرفت و ترکیب بهینه توسط این نرم افزار مشخص شد.

(۱) Iontophoresis

(۲) Ultrasonic

(۳) Electroporation

(۴) Microneedle

(۵) Surfactant

(۶) Hydrophilicity hydrophobicity balance

(۷) Response Surface Methodology

(۸) Central Composite Design

جدول ۱- درصد مواد در فرمولیندی‌ها.

HLB	درصد مواد فعال سطحی			$S_{mix/Oil}$	درصد ایزوفرول مایریستات	S/Cs	درصد ۱-دکانول	فرمولیندی
	اسپن ۸۰	تویین ۸۰	نسبت تویین ۸۰ به اسپن ۸۰					
۸	۱۵/۵	۲۵/۴	۱/۶۴	۶	۳۵	۳/۵	۱۱/۶۲	۱
۸/۵۹	۱۱/۳	۲۲/۲	۲/۰۵	۵/۴۱	۴۰	۲/۶۱	۱۳/۰۳	۲
۷/۴۱	۱۸/۴	۲۲/۳	۱/۲۷	۶/۵۹	۲۹/۸	۲/۶۱	۱۶/۰۳	۳
۸	۱۸	۲۹/۷	۱/۶۵	۷	۲۶/۳	۳/۵	۱۳/۵۳	۴
۷/۴۱	۱۲/۸	۲۱/۶	۱/۶۹	۶/۵۹	۴۰/۱	۲/۶۱	۱۳/۰۳	۵
۷/۴۱	۲۳	۲۹/۲	۱/۲۷	۶/۵۹	۲۹/۸	۴/۳۹	۵/۰۱	۶
۸/۵۹	۱۲/۸	۲۵/۸	۲/۰۱	۵/۴۱	۴۰/۱	۴/۳۹	۸/۸۲	۷
۷/۴۱	۱۱/۳	۱۹/۲	۱/۷۰	۵/۴۱	۴۰/۱	۲/۶۱	۱۶/۹۴	۸
۸/۵۹	۱۳/۹	۲۸/۲	۲/۰۳	۶/۵۹	۲۹/۸	۲/۶۱	۱۵/۶۳	۹
۸	۱۵/۵	۲۵/۴	۱/۶۴	۶	۳۵	۳/۵	۱۱/۶۲	۱۰
۸	۱۶/۵	۲۷/۲	۱/۶۵	۶	۳۵	۵	۸/۸۲	۱۱
۷	۲۶/۶	۲۶/۶	۱/۰۰	۶	۳۵	۳/۵	۱۱/۶۲	۱۲
۸/۵۹	۱۵/۵	۳۱/۵	۲/۰۳	۶/۵۹	۲۹/۸	۴/۳۹	۱۰/۷۲	۱۳
۸	۱۳/۳	۲۱/۷	۱/۶۳	۶	۳۵	۲	۱۷/۵۴	۱۴
۸	۱۵/۵	۲۵/۴	۱/۶۴	۶	۳۵	۳/۵	۱۱/۶۲	۱۵
۸	۱۵/۵	۲۵/۴	۱/۶۴	۶	۳۵	۳/۵	۱۱/۶۲	۱۶
۸	۱۵/۵	۲۵/۴	۱/۶۴	۶	۳۵	۳/۵	۱۱/۶۲	۱۷
۸	۱۵/۵	۲۵/۴	۱/۶۴	۶	۳۵	۳/۵	۱۱/۶۲	۱۸
۹	۱۲	۲۸/۹	۲/۴۰	۶	۳۵	۳/۵	۱۱/۶۲	۱۹
۸	۱۳	۲۱/۱	۱/۶۲	۵	۴۳/۷	۳/۵	۹/۷۲	۲۰

### نتیجه‌ها و بحث

نتیجه‌ها  
پایداری

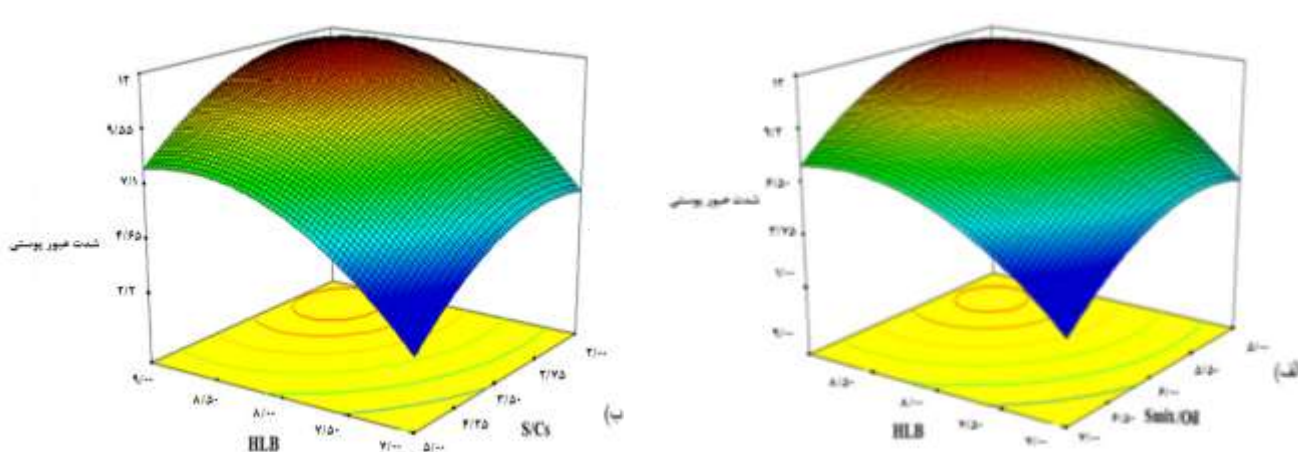
پایداری نمونه‌ها مطابق روش ارایه شده در بخش تجربی مورد ارزیابی قرار گرفت. نمونه‌ها از نظر ظاهری، جدایش فازی و کدورت مورد بررسی قرار گرفتند و نتیجه‌ها بیانگر پایداری تمام نمونه‌ها بود.

### عبورپوستی

برای بررسی اثر متغیرهای HLB،  $S_{mix/Oil}$  و S/Cs بر شدت عبورپوستی دارو، ابتدا شدت عبور دارو از پوست در ۲۰ فرمولیندی توسط معادله (۲) محاسبه شد:

نمونه به مدت ۳۰ دقیقه در سانتریفیوژ با دور بر دقیقه ۱۰۰۰۰ دور دارد و شفافیت و جدایش فازی آنها مورد بررسی قرار گرفت [۵].

عبورپوستی دارو از سامانه میکروامولسیون برای تعیین سرعت عبور دارو از پوست موش‌های صحرایی نر نژاد اسپرگوداولی، سل نفوذ پذیری فرانز با قطر سطح مقطع ۲/۵ سانتی‌متر و فسفات بافر pH=۷/۴ استفاده شد. مقدار میکروامولسیون‌ها ۲۴۰ میلی گرم و دمای دستگاه ۳۴°C بود نمونه برداری در زمان‌های ۰/۵، ۰/۱۰، ۰/۲۰، ۰/۳۰ و ۰/۴۰ ساعت انجام گرفت و نمونه‌ها توسط دستگاه کروماتوگرافی مایع با کارابی بالا (Younglin, SDV30) با دتکتور UV در طول موج ۲۰۷ نانومتر تجزیه شدند [۶].



شکل ۱- نمودارهای سه بعدی سرعت نفوذ پوستی بر حسب (الف)  $S_{mix}/Oil$  و (ب)  $HLB$ .

### بحث

همان‌گونه که در شکل ۱ دیده می‌شود با افزایش میزان  $HLB$  میزان شدت عبور پوستی و با کاهش میزان  $S/Cs$  و  $S_{mix}/Oil$  شدت عبور پوستی افزایش می‌یابد. فاصله یکسان بین نمودارها در شکل‌های کانتور نشان‌دهنده نبود برهمنکش بین متغیرها است. شدت عبور پوستی دارو از پوست را می‌توان توسط معادله (۲) نشان داد [۸].

$$J_{ss} = dM/dt = DPC_v/h \quad (۳)$$

در این معادله،  $dM/dt$  مقدار تجمعی داروی عبوری از غشا بر واحد سطح در واحد زمان،  $D$  ضریب نفوذ،  $P$  ضریب توزیع دارو بین سامانه و غشا،  $C_v$  غلظت دارو در سامانه و  $h$  ضخامت غشا هستند. با افزایش میزان  $HLB$  شدت عبور پوستی در فرمول‌بندی‌ها افزایش و زمان تاخیر کاهش می‌یابد. افزایش  $HLB$  منجر به افزایش میزان تویین ۸۰ در فرمول‌بندی می‌شود. تویین ۸۰ جز مواد فعال سطحی قطبی بهشمار می‌رود. داروهای آبدوست برای نفوذ در داخل لایه شاخی مسیرهای آبدوست را ترجیح می‌دهند که شامل مسیرهای درون‌سلولی و مسیرهای بین سرهای قطبی ساختار دو لایه‌ای لایه شاخی است [۹]. مواد فعال سطحی قطبی بر روی پروتئین‌ها و قسمتهای آبدوست لایه شاخی تأثیر می‌گذارند و با تغییر دادن ماهیت آنها تقسیم پذیری مولکول‌های قطبی را در پوست آسان‌تر می‌نمایند. همچنین می‌توانند در قسمت دولایه این لایه شاخی ایجاد ناهنجاری نموده و با سرهای آبدوست را افزایش دهنده و از تبخیر آن جلوگیری نمایند. بدین وسیله حجم آب را افزایش داده و ساختار منظم آن را برهمنکش نمودند.

$$J_{ss} = (V/A)(dC/dt) \quad (۱)$$

در این معادله  $J_{ss}$  شدت عبور پوستی (میکروگرم / ساعتی متر مربع)،  $V$  حجم مخزن (سانتی‌متر مکعب) و  $A$  سطح موثر نفوذ (سانتی‌متر مربع) هستند [۷]. نتیجه‌های به دست آمده از این معادله به عنوان پاسخ به نرم افزار ارایه شده و پاسخ شدت عبور پوستی دارو توسط معادله درجه دوم (معادله (۱)) مدل شد. میزان ضریب همبستگی پیش‌بینی شده و ضریب همبستگی تعديل شده به ترتیب ۰,۸۸ و ۰,۹۴ تعیین شد. در این معادله  $A$ ,  $B$ ,  $C$ ,  $A^2$ ,  $B^2$  و  $C^2$  (به ترتیب  $S/Cs^2$ ,  $HLB^2$ ,  $S/Cs$ ,  $S_{mix}/Oil$ ,  $HLB^2 S/Cs$  و  $S_{mix}/Oil^2$ ) معادل با  $P$ -value از ۰,۰۵ معنی‌دار هستند.

$$\text{Skin flux} = 10,47 + 1,8A - 1,13 \times C - 0,68 \times A^2 - 0,78 \times B^2 - 0,56 \times C^2 \quad (۲)$$

تعیین ترکیب بهینه و آزمون اعتبار سنجی مدل برای تعیین ترکیب بهینه مقدارهای متغیرهای مستقل را در بازه‌ی انتخاب شده قرار داده و برای پاسخ‌ها مقدار بیشینه انتخاب شد. پس از بهینه‌سازی توسط نرم افزار ترکیب بهینه با فرمول‌بندی:  $HLB = 8,9$ ,  $S/Cs = 3,01$ ,  $S_{mix}/Oil = 4,54$  و  $HLB^2 S/Cs = 5,46$  به دست آمد. مقدارهای بیشتر و حداقل قابل قبول شدت عبور پوستی ترکیب بهینه با محدوده اطمینان ۹۵٪ به ترتیب برابر با ۱۱,۹۵ و ۱۰,۶۵ (میکروگرم / ساعت) بودند. آزمون عبور پوستی برای تایید مقدار ارایه شده انجام شد. شدت عبور پوستی به دست آمده برابر با  $11,12 \pm 0,27$  (میکروگرم / ساعت) است.

در این ناحیه شوند [۱۲]. عملکرد ایزوپروپیل مایریستات به قطبیت متوسط آن برمی‌گردد، که هم بر روی نواحی قطبی و هم غیر قطبی پوست تأثیر می‌گذارد. این ماده با سرهای آبدوست و آب‌گریز ساختار دو لایه‌ای لایه شاخی برهم‌کنش ایجاد می‌کند و ساختار این لایه را برهم می‌ریزد. ایزوپروپیل مایریستات به عنوان فاز روغنی (با گرانروی cP ۶-۵) دارای گرانروی کمتری نسبت به توینن ۸۰ (با گرانروی cP ۱۰۸۰-۹۷۰، اسپن ۸۰ (با گرانروی cP ۱۴۹) است [۱۳]. با افزایش میزان ایزوپروپیل مایریستات گرانروی فرمولیندی کاهش می‌یابد. در نتیجه افزایش تحرك و آزادی دارو در سامانه، داروی عبوری از پوست افزایش می‌یابد و با توجه به اینکه فاز خارجی میکروامولسیون را تشکیل می‌دهد و دارای گرانروی کمتری نسبت به بقیه اجزا است، سریع‌تر به لایه شاخی نفوذ کرده و تأثیر بیشتری دارد. با افزایش فاز روغنی میزان مواد فعال سطحی و کمک فعل سطحی در میکروامولسیون کاهش می‌یابد، که این امر سبب کاهش مقاومت برای نفوذ دارو از فاز درونی به فاز خارجی می‌شود و فرایند نفوذ مستقیم دارو از قطره‌ها به پوست را نیز آسان می‌نماید [۱۴، ۱۵].

### نتیجه گیری

در این پژوهش نتیجه‌های آزمون پایداری نشان داد که همه فرمولیندی‌ها پایدار هستند و هیچ‌گونه کدورت و جدایش فازی در آنها دیده نشد. با افزایش قطبیت (افزایش HLB)، کاهش گرانروی (کاهش Oil/S<sub>mix</sub>) و کاهش نسبت ماده فعل سطحی به کمک فعل سطحی (کاهش S/Cs) شدت عبور پوستی افزایش می‌یابد.

تاریخ دریافت: ۱۳۹۲/۵/۵؛ تاریخ پذیرش: ۱۳۹۳/۶/۳

و سبب افزایش نفوذ دارو و توزیع آن در این ناحیه می‌شوند. در مقابل اسپن ۸۰ یک ترکیب غیر قطبی است که بیشتر بر چربی‌های برون سلولی لایه شاخی تأثیر می‌گذارد و آنها را سیال‌تر می‌نماید. درنتیجه مسیرهای آب‌گریز را افزایش می‌دهد و بیشتر برای داروهای چربی دوست مناسب است [۱۰، ۱۱]. با توجه به دلایل یاد شده با افزایش HLB میزان D و P در معادله ۳ افزایش یافته و در نتیجه میزان عبور پوستی افزایش می‌یابد. با کاهش میزان S/Cs در این فرمولیندی‌ها میزان شدت عبور پوستی افزایش یافت. با کاهش S/Cs میزان ۱-دکانول در سامانه افزایش می‌یابد. ۱-دکانول یک الكل با زنجیره بلند هیدروکربنی و از خانواده الكل‌های چرب است. الكل‌های آب‌گریزبه دلیل داشتن زنجیره هیدروکربنی بلند می‌توانند ساختار دولایه‌ای لایه شاخی را برهم بزنند، نفوذ دارو در پوست را افزایش دهند و با ورود به لایه شاخی و تعییر ترکیب آن و سیال نمودن چربی‌های لایه شاخی تقسیم‌پذیری دارو در پوست را افزایش دهند [۱۱]. همچنین با افزایش ۱-دکانول در ترکیب مواد فعل سطحی و کمک فعل سطحی انعطاف‌پذیری فیلم اطراف قطره‌ها بیشتر می‌شود که باعث افزایش نفوذ دارو به فاز خارجی شده و با کاهش زاویه تماس بین قطره‌ها و پوست سبب افزایش سطح تماس شده و نفوذ دارو به پوست را امکان‌پذیر می‌نماید. بنابراین این ماده هم می‌تواند بر روی D و هم بر روی P در معادله ۴ تأثیر گذارد و با افزایش همزمان این دو عامل، موجب افزایش شدت عبور پوستی دارو شود. با کاهش S<sub>mix</sub>/Oil در این فرمولیندی‌ها شدت عبور پوستی افزایش یافت. با کاهش میزان S<sub>mix</sub>/Oil میزان ایزوپروپیل مایریستات در سامانه افزایش می‌یابد. ایزو پروپیل مایریستات یک استر الیفاتیک است. استرهای اسیدهای چرب می‌توانند وارد ساختار دولایه‌ای لایه شاخی شوند و با بههم ریختن آن یک حوزه جدید و جدایی را به وجود آورند و سبب افزایش نفوذ پذیری

### مراجع

- [1] Prausnitz M.R., Langer R., Transdermal Drug Delivery, *Nature Biotechnology*, **26** (11): 1261-1268 (2008).
- [2] Melkamu G., Wohlrab J., Neubert, H.H.R.Dermal Delivery of Desmopressin Acetate Using Colloidal Carrier Systems, *Journal of Pharmacy and Pharmacology*, **57**: 423-427 (2005).
- [3] Murthy S.N., Shivakumar H.N., "Topical and Transdermal Drug Delivery, Handbook of Non-Invasive Drug Delivery Systems", Vitthal S. Kulkarni, 1st Ed, New York, Elsevier Inc, p. 26 (2010).

- [4] Grampurohit N., Ravikumar P., Mallya R., Microemulsions for Topical Use- A Review, *Indian Journal of Pharmaceutical Education Research*, **45**(1): 100-107 (2011).
- [5] Fana Q., Sirkar K.K., Wangb Y., Michniakc B. In Vitro Delivery of Doxycycline Hydrochloride Based on a Porous Membrane-Based Aqueous-Organic Partitioning System, *Journal of Controlled Release*, **98**: 355-65 (2004).
- [6] Zhao X., Liu J.P., Zhang X., Li Y., Enhancement of Transdermal Delivery of Theophylline Using Microemulsion Vehicle, *International Journal of Pharmaceutics*, **327**: 58-64 (2006).
- [7] Karasulu H.Y., Microemulsions as Novel Drug carriers: the Formation, Stability, Applications and Toxicity, *Expert Opinion on Drug Delivery*, **5**(1): 119-35 (2008).
- [۸] عبدالخایی، محمد جعفر؛ کاربردهای مهندسی شیمی در پزشکی یا گرایش مهندسی پزشکی در مهندسی شیمی، نشریه شیمی و مهندسی شیمی ایران، (۱۳۷۸) ۵۷: ۶۶-۱۸.
- [9] Kogan, A., Garti, N. Microemulsions as Transdermal Drug Delivery Vehicles., *Advanced Colloid and Interface Science*, **123**(126): 369-385 (2006).
- [10] Patel M.R., Patel R.B., Parikh J.R., Solanki A.B., Patel B.G., Effect of Formulation Components on the in Vitro Permeation of Microemulsion Drug Delivery System of Fluconazole, *A.A.P.S. Pharmaceutical Scientist Technology*, **10**(3): 917-923 (2009).
- [11] Klanakarin S., An Overview of Skin Penetration Enhancers: Penetration Enhancing Activity, Skin Irritation Potential and Mechanism of Action, *Journal of Science and Technology*, **31** (3): 299-321 2009.
- [12] Rao Y.S., Deepthi K.S., Chowdary K.P.R., Microemulsions: a Novel Drug Carrier System, *International Journal of Drug Delivery Technology*, **1**(2): 39-41 (2009).
- [13] Rasal A., Mahjan H.S., Shaikh H.T., Surana S.J., Development and Characterization of Nasalmu Coadhesive Microemulsion of Sumatriptansuccinate, *Indian Journal of Novel Drug Delivery*, **2**(3): 103-108 (2010).
- [14] Nahas H., Fakhry Gh., Ghamry H., Sabry Sh., Effect of Various Penetration Enhancers Concentrations on Diclofenac Sodium Release from Cellulose Acetate Phthalate Polymeric Film, *Asian Journal of Pharmaceutics*, **5**(1): 33-40 (2011).
- [15] Karande P., Mitragotri S., Enhancement of Transdermal Drug Delivery via Synergistic Action of Chemicals, *Biochemical and Biophysics Acta*, **1788**: 2362-2373 (2009).